

$$\vec{v}_{\text{cm}} = \frac{1}{m} \int \vec{v} \, dm \qquad \vec{a}_{\text{cm}} = \frac{1}{m} \int \vec{a} \, dm \qquad \sum_{i=1}^n \vec{F}_i = m \vec{a}_{\text{cm}} \qquad \sum_{i=1}^n M_{z,i} = I_z \alpha$$

$$I_z = \int R^2 \, dm$$

6. Trabalho e energia

$$W_{12} = \int_{s_1}^{s_2} F_t \, ds \qquad W_{12} = E_c(2) - E_c(1) \qquad E_c = \frac{1}{2} m v_{\text{cm}}^2 + \frac{1}{2} I_{\text{cm}} \omega^2 \qquad U = - \int_{\vec{r}_0}^{\vec{r}} \vec{F} \cdot d\vec{r}$$

$$W_{12} = U(1) - U(2) \qquad U_g = m g z \qquad U_e = \frac{1}{2} k s^2 \qquad E_m = E_c + U$$

$$\int_{s_1}^{s_2} F_t^{\text{nc}} \, ds = E_m(2) - E_m(1) \qquad \Omega = \sqrt{\frac{k}{m}} = 2\pi f \qquad s = A \sin(\Omega t + \phi_0) \qquad E_m = \frac{1}{2} m v^2 + \frac{1}{2} k s^2$$

7. Sistemas dinâmicos

$$\dot{x}_1 = f_1(x_1, x_2) \qquad \dot{x}_2 = f_2(x_1, x_2) \qquad \vec{u} = f_1(x_1, x_2) \hat{e}_1 + f_2(x_1, x_2) \hat{e}_2 \ddot{x} = f(x, \dot{x})$$

$$y = \dot{x} \qquad \vec{u} = y \hat{i} + f(x, y) \hat{j}$$

Sistemas conservativos:

$$\frac{\partial f_1}{\partial x_1} + \frac{\partial f_2}{\partial x_2} = 0 \qquad f_1 = \frac{\partial H}{\partial x_2} \qquad f_2 = -\frac{\partial H}{\partial x_1}$$

Ponto de equilíbrio = $\vec{0}$ (estável ou instável).

Ciclo curva fechada no espaço de fase.

Órbita homoclínica começa e termina no mesmo ponto de equilíbrio instável.

Órbita heteroclínica ligam vários pontos de equilíbrio instável.

8. Mecânica lagrangiana

$$\frac{d}{dt} \left(\frac{\partial E_c}{\partial \dot{q}_j} \right) - \frac{\partial E_c}{\partial q_j} + \frac{\partial U}{\partial q_j} = Q_j \qquad Q_j = \sum_i \vec{F}_i \cdot \frac{\partial \vec{r}_i}{\partial q_j}$$

$$\frac{d}{dt} \left(\frac{\partial E_c}{\partial \dot{q}_j} \right) - \frac{\partial E_c}{\partial q_j} + \frac{\partial U}{\partial q_j} - \lambda \frac{\partial f}{\partial q_j} = Q_j \qquad \lambda \frac{\partial f}{\partial q_j} = \text{força de ligação}$$

9. Sistemas lineares

$$\frac{d\vec{r}}{dt} = \mathbf{A} \vec{r} \qquad \vec{r} = \begin{bmatrix} x_1 \\ x_2 \end{bmatrix} \qquad \mathbf{A} = \begin{bmatrix} A_{11} & A_{12} \\ A_{21} & A_{22} \end{bmatrix}$$

Valores próprios $\lambda^2 - \text{tr}(\mathbf{A}) \lambda + \det(\mathbf{A}) = 0$

Valores próprios λ	Tipo de ponto	Estabilidade
2 reais; sinais opostos	ponto de sela	instável
2 reais, positivos	nó repulsivo	instável
2 reais, negativos	nó atrativo	estável
2 complexos; parte real positiva	nó repulsivo	instável
2 complexos; parte real negativa	nó atrativo	estável
2 imaginários	centro	estável
1 real, positivo	nó impróprio repulsivo	instável
1 real, negativo	nó impróprio atrativo	estável

10. Sistemas não lineares

$$\text{Matriz jacobiana: } J = \begin{bmatrix} \frac{\partial f_1}{\partial x_1} & \frac{\partial f_1}{\partial x_2} \\ \frac{\partial f_2}{\partial x_1} & \frac{\partial f_2}{\partial x_2} \end{bmatrix}$$

(Em cada ponto de equilíbrio é a matriz da aproximação linear do sistema.)

Energia Potencial Elástica:

$$U_e = \frac{1}{2} k s^2$$

$$|F_e| = k s$$

$$F_t^c = -\frac{dU}{ds}$$

Forças conservativas:

$$E_c = \frac{1}{2} m v_{cm}^2 + \frac{1}{2} I_{cm} \omega^2$$

$$U = - \int_{r_0}^{\vec{r}} \vec{F} \cdot d\vec{r}$$

SISTEMAS AUTÔNOMOS

São os sistemas (com momento de translação) em que o estado será generalizado a força resultante na dependência explicitamente do tempo: $F_t = f(s, v)$ como s e v são funções do tempo, F_t dependerá implicitamente de t .

1. Modelo de Malthus

$$\frac{f(x,t)}{x} = a = \text{constante positiva}$$

$$\Rightarrow \frac{dx}{dt} = f(x,t) = ax \quad (\text{EDO de variáveis separáveis})$$

$$\Rightarrow \int_{x_0}^x \frac{dx}{x} = \int_0^t a dt \Rightarrow \ln\left(\frac{x}{x_0}\right) = at$$

$$x(t) = x_0 e^{at} \quad \text{crescimento exponencial da população}$$

Equação diferencial

$$\frac{d^2y}{dx^2} + y\left(\frac{dy}{dx}\right)^2 + \cos y = 3y$$

pode ser escrita como sistema dinâmico autônomo:

$$\begin{cases} \frac{dy}{dx} = u & \text{variáveis de estado: } (y, u) \\ \frac{du}{dx} = 3y - y u^2 - \cos y & \text{variável independente: } x \text{ (em vez de } t) \end{cases}$$

Unidade SI de trabalho e energia
1 joule = 1 J = 1 N.m = 1 kg.m²/s²

O trabalho realizado por uma força conservativa, entre dois pontos P e Q, é igual à energia potencial inicial, U_P , menos a energia potencial final, U_Q .

Teorema do trabalho e a energia mecânica.
O trabalho das forças não conservativas é igual ao aumento da energia mecânica do corpo.

$$\frac{d}{dt} \left(\frac{\partial E_c}{\partial \dot{q}_j} \right) - \frac{\partial E_c}{\partial q_j} = Q_j \quad j = 1, \dots, n$$

$$\frac{d}{dt} \left(\frac{\partial E_c}{\partial \dot{q}_j} \right) - \frac{\partial E_c}{\partial q_j} + \frac{\partial U}{\partial q_j} = Q_j \quad j = 1, \dots, n$$

$$\frac{d}{dt} \left(\frac{\partial E_c}{\partial \dot{q}_j} \right) - \frac{\partial E_c}{\partial q_j} + \frac{\partial U}{\partial q_j} - \lambda \frac{\partial f}{\partial q_j} = Q_j$$

$$\lambda^2 - \text{tr}(\mathbf{A}) \lambda + \det(\mathbf{A}) = 0$$

Valores próprios λ	Tipo de ponto	Equilíbrio
2 reais; sinais opostos	ponto de sela	instável
2 reais, positivos	nó repulsivo	instável
2 reais, negativos	nó atrativo	estável
2 complexos; parte real positiva	foco repulsivo	instável
2 complexos; parte real negativa	foco atrativo	estável
2 imaginários	centro	estável
1 real, positivo	nó impróprio	instável
1 real, negativo	nó impróprio	estável

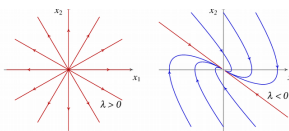


Figura 9.8: Retratos de fase de um nó próprio instável (esquerda) e de um nó próprio estável (direita).

Comandos fixos

eigenvectors(matriz)

eigenvalues(matriz)

coefmatriz(lista_equacoes, lista_variaveis)

plotdf(lista_equacoes, lista_variaveis, (opcional) intervalo, variavel) usa a trajectory plot para ver como evolui a variável

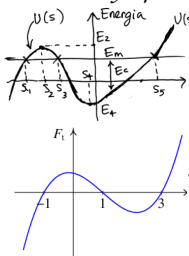
jacobian(lista_equacoes, lista_variaveis)

rk(lista_equacoes, lista_variaveis, lista_valores_iniciais_variaveis, lista_valores_iniciais, lista_valores_finais, lista_valores_finais)

[variavel independente, valor_inicial, valor_final, incremento]

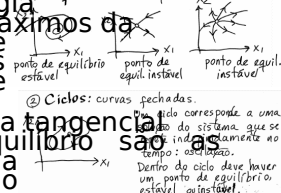
12.massa2*gravidade-massa2*aceleração

Análise gráfica.



No gráfico da Energia Potencial (U) os máximos da função são pontos de equilíbrio instáveis e os mínimos são pontos de equilíbrio estável. Nos gráficos da Força tangencial os pontos de equilíbrio são as raízes da função e a função é zero onde a função é positiva o equilíbrio é instável e negativa o equilíbrio é estável.

① Curvas que começam/terminam num ponto de equilíbrio. Exemplos:



② Ciclos: curvas fechadas. Quando corresponde a uma oscilação do sistema, que se repete indefinidamente no tempo, os pontos de equilíbrio são estáveis. Dentro do ciclo deve haver um ponto de equilíbrio estável ou instável. O ciclo é formado por uma curva que começa num ponto de equilíbrio e termina no mesmo ponto. O ponto de equilíbrio é estável. Não corresponde a uma oscilação porque não se repete no tempo. Quando o sistema se aproxima do ponto de equilíbrio nunca chega a esse ponto.

③ Órbitas heteroclinicas: sequência de n curvas que ligam n pontos de equilíbrio (instável) C1 começa no primeiro ponto e termina no ponto P2. C2 vai de P2 a P3, ... Cn vai de Pn até P1. Cada curva Ci é uma solução diferente.

SISTEMAS CONSERVATIVOS

São os sistemas em que E_m permanece constante (as forças não conservativas não realizam trabalho)

O trabalho da força resultante, no centro de massa do corpo, é igual ao aumento da energia cinética de translação

2. Modelo logístico - Também chamado de Verhulst

A taxa de natalidade é constante, a, mas a taxa de mortalidade aumenta diretamente proporcional à população.

como $H(x_1, x_2) = c$. A condição necessária e suficiente para que um sistema seja conservativo é:

$$\frac{\partial f_1}{\partial x_2} = \frac{\partial f_2}{\partial x_1} = 0 \quad \text{divergência da velocidade de fase nula em todo o espaço de fase.}$$

SISTEMA DE LOTKA-VOLTERRA

$\dot{x} = x(a - cy)$ é um sistema predador-presa em que x são presas e y predadores (a, b, c e d positivos)

- A população de presas aumenta exponencialmente se não existirem predadores.
- A população de predadores diminui até zero se não existirem presas.

Um modelo mais realista, de Holling-Tanner, tem apenas um ciclo limite:

$$\dot{x} = x\left(1 - \frac{x}{x_0}\right) - \frac{cx y}{1 + tx} \quad \dot{y} = \frac{y}{y_0}\left(1 - \frac{y}{y_0}\right)$$

x = presas, y = predadores

$$\text{tr}(\mathbf{A}) < 0$$

nó impróprio atrativo (estável)

$$\text{tr}(\mathbf{A}) > 0$$

nó impróprio repulsivo (instável)

CICLOS LIMITE

Nos limites $t \rightarrow \infty$ ou $t \rightarrow -\infty$, as curvas de evolução podem aproximar-se assintoticamente de um ponto de equilíbrio ou também de uma curva fechada (ciclo).

Coordenadas polares.

Em alguns casos a mudança de variáveis para um ponto de equilíbrio ajuda a descobrir ciclos limite. A derivada \dot{r} igual a zero indica a presença de ciclos limite.

No caso do exemplo no início da aula, em que a velocidade de fase está na variável u e o ponto de equilíbrio é a origem, as coordenadas polares são:

$$[x, y] = [r \cos(\theta), r \sin(\theta)]$$

$$\text{define-se as derivadas de } r \text{ e } \theta:$$

$$\text{grade } f(r, \theta, t)$$

$$\text{grade } g(r, \theta, t)$$

e substituem-se as coordenadas polares nas duas equações de evolução:

$$\text{subst}((x-x_0, y-y_0), \text{diff}(x, t) = u(x, y), \text{diff}(y, t) = v(x, y))$$

e resolvem-se essas duas novas equações para encontrar expressões para \dot{r} e $\dot{\theta}$:

$$\text{solve}(y, [r, \theta])$$

$$\text{trigsimp}(y)$$

$$\rightarrow \dot{\theta} = 1, \quad \dot{r} = r^3(\cos^2 \theta - 3)$$

o gráfico de \dot{r} para um valor qualquer de θ , por exemplo $\theta = 0$:

$$\text{plot}([r^3(\cos^2(0) - 3)], [r, 0, 1])$$

mostra que há um ciclo limite entre $r = 0$ e $r = 1$, onde $\dot{r} = 0$.

SISTEMA DE LOTKA-VOLTERRA

$\dot{x} = x(a - cy)$ é um sistema predador-presa em que x são presas e y predadores (a, b, c e d positivos)

- A população de presas aumenta exponencialmente se não existirem predadores.
- A população de predadores diminui até zero se não existirem presas.

O problema deste modelo é que as oscilações das populações podem ser de valores quase nulos até valores muito elevados

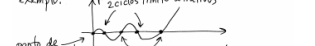
istemos lineares têm um único ponto de equilíbrio origin.

Um sistema não linear com n pontos de equilíbrio pode ser aproximado, nas vizinhanças desses pontos, por n sistemas lineares diferentes

O ciclo limite é atrativo porque para r menor do que no ciclo limite r aumenta ($\dot{r} > 0$) e para valores superiores r diminui ($\dot{r} < 0$).

$r = 0$ também dá $\dot{r} = 0$ porque $r = 0$ é ponto de equilíbrio.

Em casos mais complicados, o gráfico de \dot{r} em função de r , para algum valor de θ , pode ser, por exemplo:



2 ciclos limite repulsivos

No exemplo da página anterior, $\dot{\theta} = 1$ mostra que o estado desloca-se no sentido anti-horário, com velocidade angular constante.

As curvas de evolução são oscilações com frequência angular $\Omega = 1$ e amplitude crescente, dentro do ciclo limite, ou decrescente fora do ciclo limite.

1. Sistema predador-presa. $\frac{\partial x}{\partial y}$ e $\frac{\partial y}{\partial x}$ com sinais diferentes

2. Sistema com cooperação. $\frac{\partial x}{\partial y}$ e $\frac{\partial y}{\partial x}$ positivos

3. Sistema com competição. $\frac{\partial x}{\partial y}$ e $\frac{\partial y}{\partial x}$ negativos